

# Modelos para dados de contagem: parte 2

Prof. Caio Azevedo

## Exemplo 4: comparação do número de acidentes

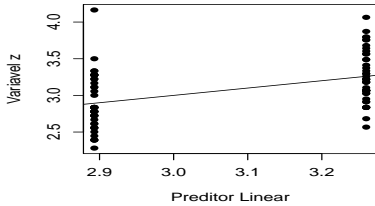
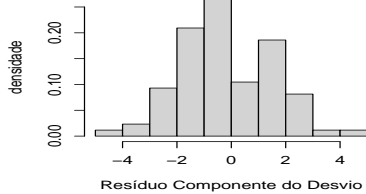
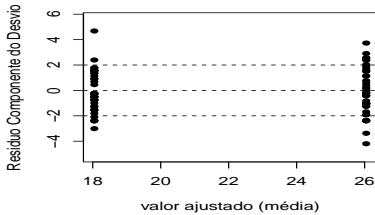
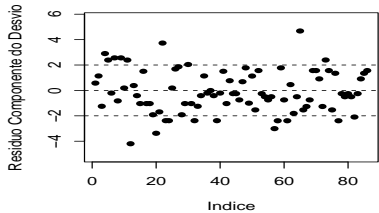
### Modelo

$Y_{ij} \stackrel{ind.}{\sim} \text{Poisson}(\mu_i), i = 1 (\text{ano de } 1961), 2 (\text{ano de } 1962), j = 1, \dots, 43$

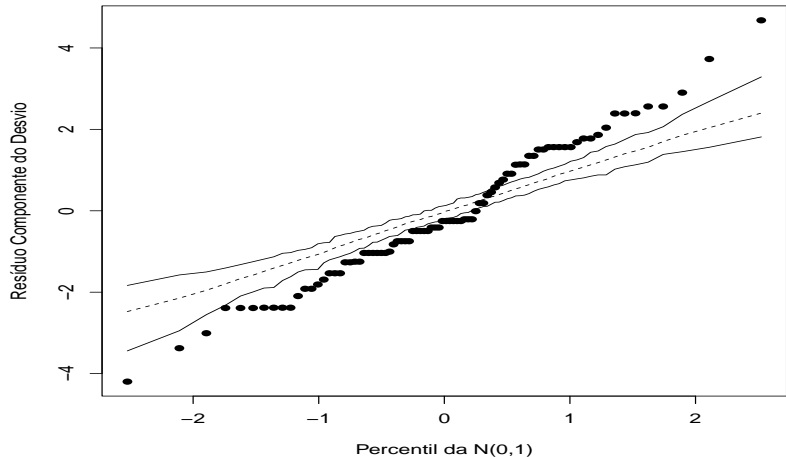
$$\ln \mu_i = \mu + \alpha_i, \alpha_1 = 0$$

- $\mathcal{E}(Y_{ij}) = \mu_i = e^{\mu + \alpha_i}$ .
- $e^{\alpha_2}$ : o incremento multiplicativo (positivo ou negativo) da média do ano de 1962 em relação à média do ano de 1961 ( $\mu_2 = \mu_1 e^{\alpha_2}$ ).

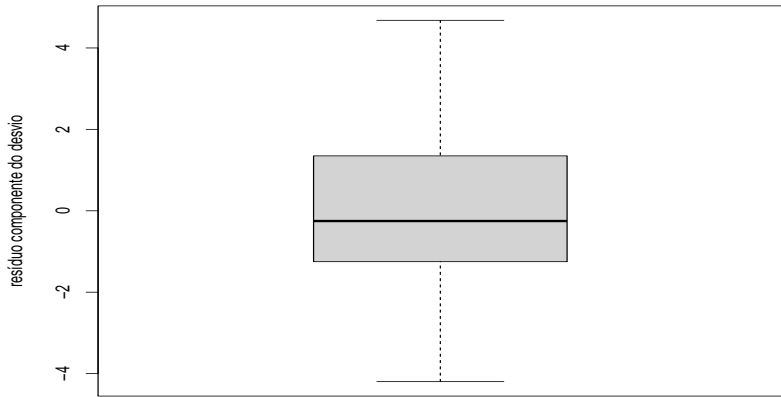
# Gráficos de diagnóstico: Exemplo 4



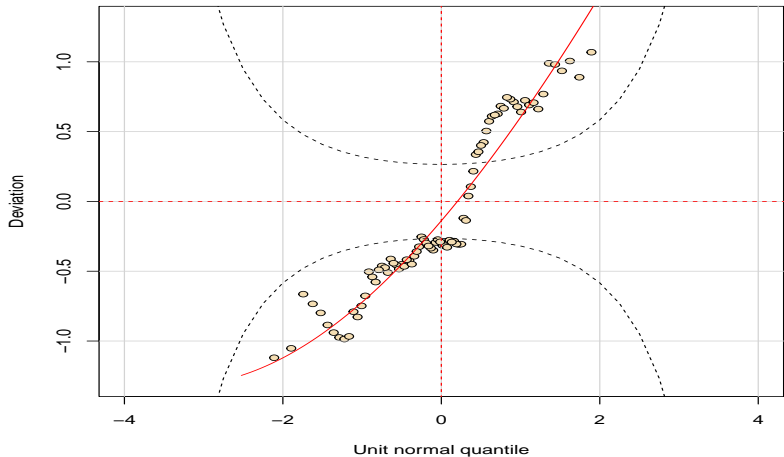
## Envelope para os resíduos: Exemplo 4



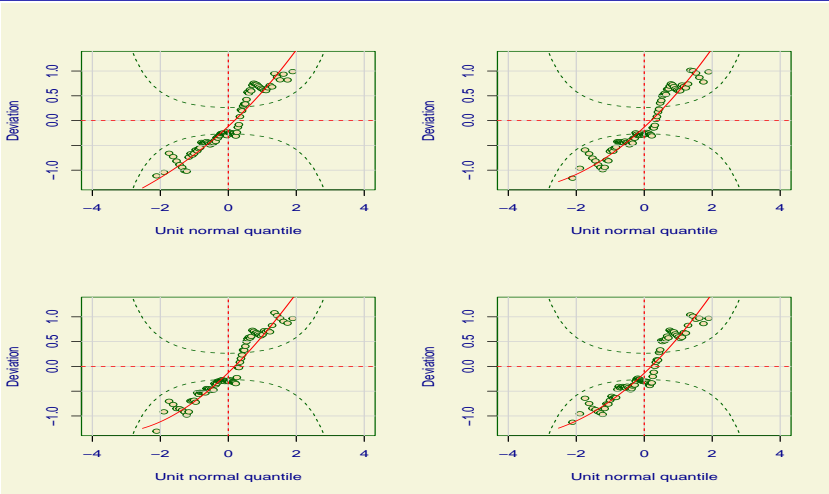
## Box plot para os resíduos: Exemplo 4



## Worm plot para os resíduos: Exemplo 4

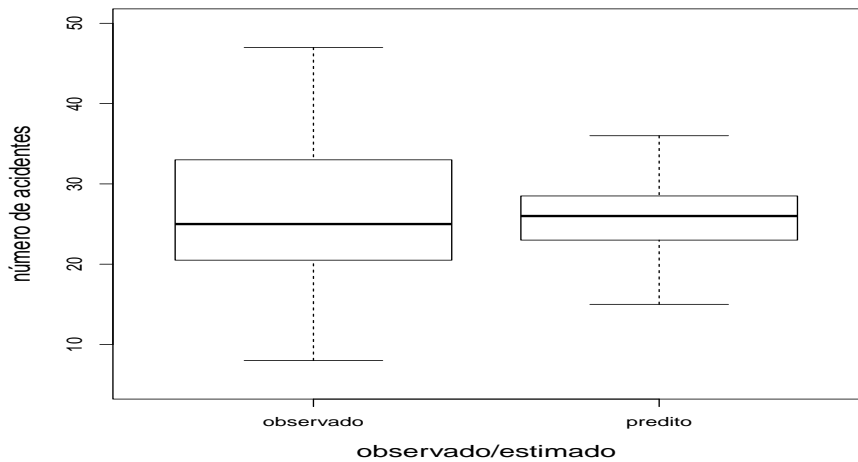


## Worm plots para os resíduos: Exemplo 4



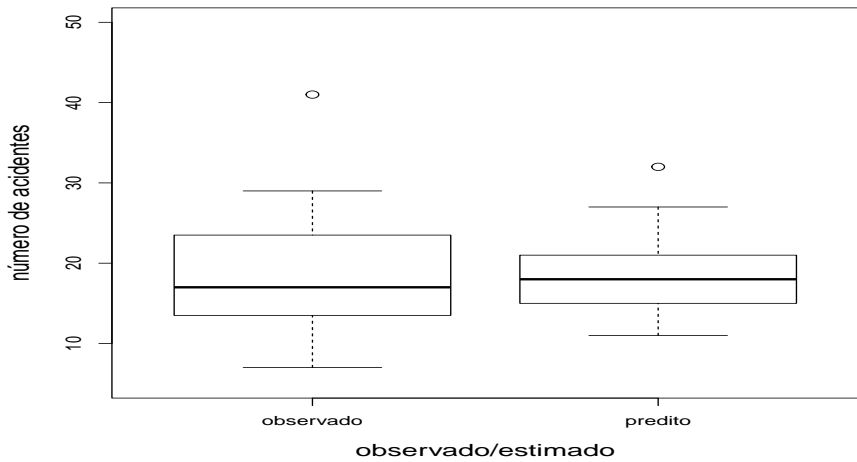
# Distribuições preditas e observadas (boxplot)

1961

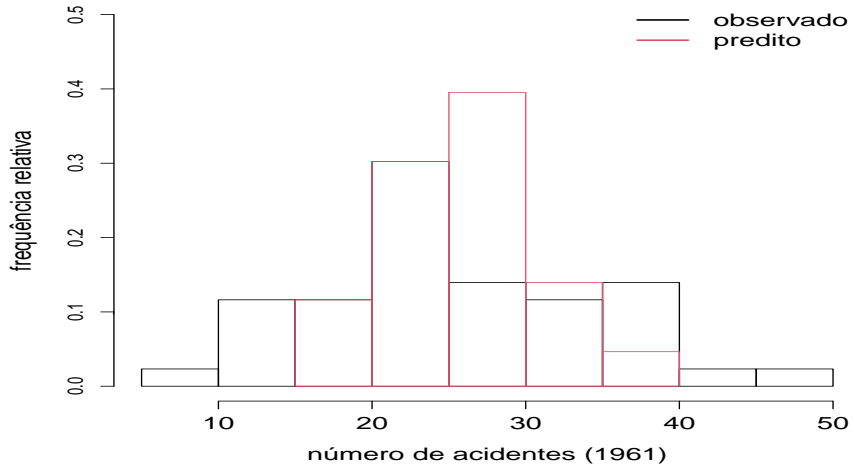


# Distribuições preditas e observadas (boxplot)

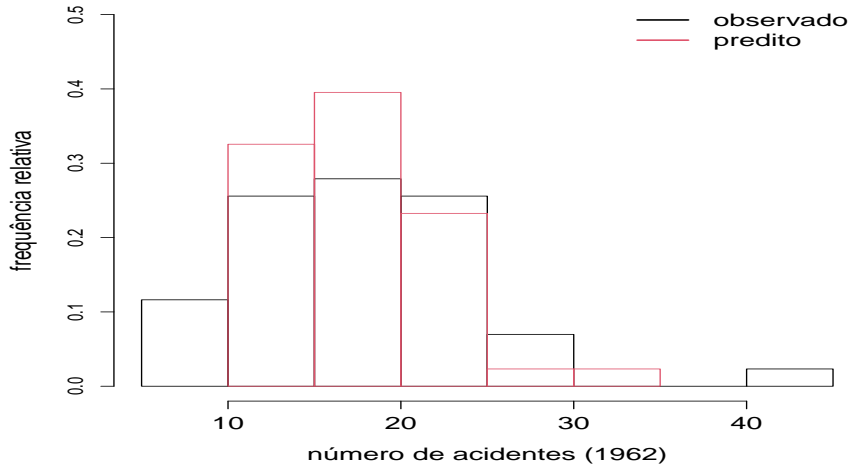
1962



# Distribuições preditas e observadas (histograma)



# Distribuições preditas e observadas (histograma)



## Comentários

- Temos indicações de normalidade e homocedasticidade dos RCD.
- Contudo, o gráfico QQ e o worm plot indicam um péssimo ajuste, sugerindo a existência de superdispersão.
- Adicionalmente,  $D(\mathbf{y}, \tilde{\boldsymbol{\mu}}) = 235,17$  ( $p = < 0,0001$ )  
(considerando-se a aproximação pela distribuição  $\chi^2_{(84)}$  adequada), o que indica que o modelo não se ajustou bem aos dados.
- Se o problema, em relação ao mal ajuste, estiver sendo causado por superdispersão (o que parece ser o caso), os erros-padrão estão sendo submestimados.

## Estimativas dos parâmetros dos modelos

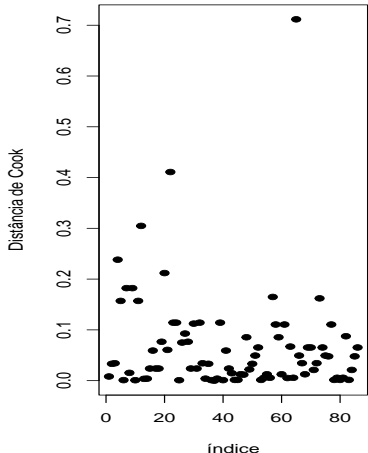
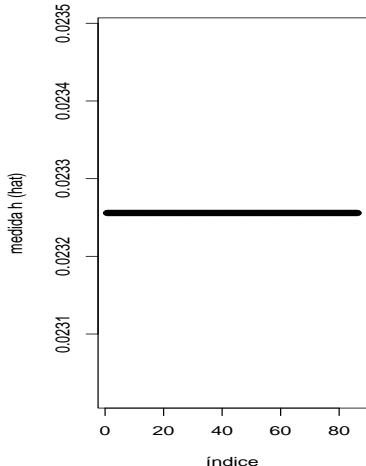
Par.	Est.	EP	IC(95%)	Estat.	$Z_t$	p-valor
$\mu$	3,26	0,03	[3,20 ; 3,32]	109,10		< 0,0001
$\alpha_2$	-0,37	0,05	[-0,46 ; -0,28]		-7,86	< 0,0001

# Médias preditas pelo modelo

Par.	Est.	EP	IC(95%)
$\mu_1$	26,05	0,78	[24,52 ; 27,57]
$\mu_2$	18,05	0,65	[16,78 ; 19,32]

- (Relembrando, o modelo não se ajustou bem). Contudo, aparentemente, houve uma redução significativa (do ponto de vista estatístico) no que concerne ao número de acidentes.
- Além disso, as médias preditas são iguais as médias observadas e os respectivos IC's contêm os valores observados.

# Pontos alavanca e Distância de Cook



# Estimativas dos parâmetros dos modelos

Com todos os pontos

Par.	Est.	EP	IC(95%)	Estat.	$Z_t$	p-valor
$\mu$	3,26	0,03	[3,20 ; 3,32]		109,10	< 0,0001
$\alpha_2$	-0,37	0,05	[-0,46 ; -0,28]		-7,86	< 0,0001

Sem a observação # 65

Par.	Est.	EP	IC(95%)	Estat.	$Z_t$	p-valor
$\mu$	3,26	0,03	[3,20;3,32]		109,10	< 0,0001
$\alpha_2$	-0,40	0,05	[-0,49;-030]		-8,38	< 0,0001

## Exemplo 11: perfil dos clientes de uma loja

- Interesse: estudar o perfil dos clientes de uma determinada loja oriundos de 110 áreas de uma determinada cidade. Cada uma das 110 observações corresponde à uma área da cidade.
- Verificar como certas características (variáveis explicativas) afetam o número esperado de clientes em cada área (variável resposta).

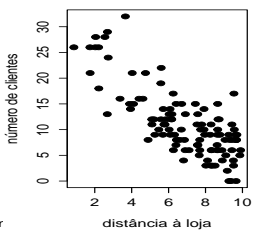
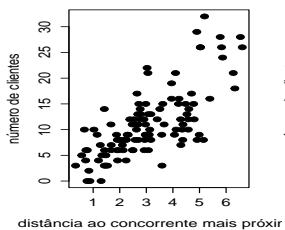
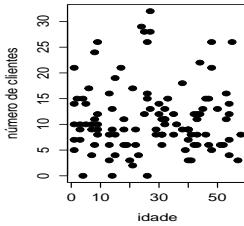
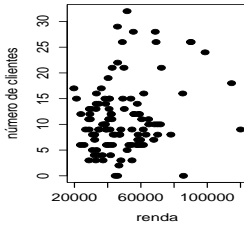
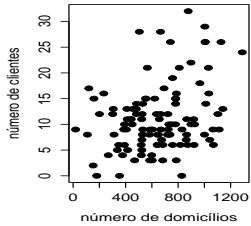
## Cont.

- Variáveis explicativas: número de domicílios (em milhares) ( $x_1$ ), renda média anual (em milhares de USD) ( $x_2$ ), idade média dos domicílios (em anos) ( $x_3$ ), distância ao concorrente mais próximo (em milhas) ( $x_4$ ) e distância à loja (em milhas) ( $x_5$ ).
- Variável resposta : número de clientes da referida loja ( $Y$ ) (contagem).

# Mapa de Fortaleza (ilustração)



# Gráficos de dispersão



# Legenda

- ndom - número de domicílios.
- renda - renda média anual.
- idade - idade média dos domicílios.
- disc - distância ao concorrente mais próximo.
- disl - distância à loja

## Medidas resumo

Medida-resumo	Variável				
	ndom	renda	idade	dist	disl
Média	647,76	48836,78	27,43	3,07	6,83
DP	263,03	18531,06	16,68	1,50	2,29
CV(%)	40,61	37,94	60,83	49,02	33,54
Mediana	647,00	44564,50	27,00	2,93	7,28
Mínimo	19,00	19673,00	1,00	0,34	0,87
Máximo	1289,00	120065,00	58,00	6,61	9,90
CA	-0,02	1,31	0,03	0,34	-0,68
Curt.	2,55	5,31	1,80	2,41	2,61

# Modelo (completo)

$$\begin{aligned} Y_i &\stackrel{ind.}{\sim} \text{Poisson}(\mu_i) \\ \ln(\mu_i) &= \beta_0 + \beta_1 \left( \frac{x_{1i} - \bar{x}_1}{s_1} \right) + \beta_2 \left( \frac{x_{2i} - \bar{x}_2}{s_2} \right) + \beta_3 \left( \frac{x_{3i} - \bar{x}_3}{s_3} \right) + \\ &+ \beta_4 \left( \frac{x_{4i} - \bar{x}_4}{s_4} \right) + \beta_5 \left( \frac{x_{5i} - \bar{x}_5}{s_5} \right), \\ \mu_i &= \exp \left\{ \beta_0 + \beta_1 \left( \frac{x_{1i} - \bar{x}_1}{s_1} \right) + \beta_2 \left( \frac{x_{2i} - \bar{x}_2}{s_2} \right) + \beta_3 \left( \frac{x_{3i} - \bar{x}_3}{s_3} \right) + \right. \\ &\quad \left. + \beta_4 \left( \frac{x_{4i} - \bar{x}_4}{s_4} \right) + \beta_5 \left( \frac{x_{5i} - \bar{x}_5}{s_5} \right) \right\}, i = 1, 2, \dots, 110 \end{aligned}$$

# Modelo (completo)

- $x_{ji}$  : valor da variável explicativa  $j$ , associada à área  $i$ ,

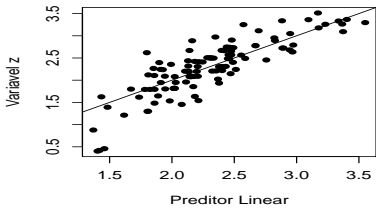
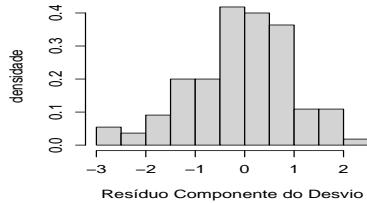
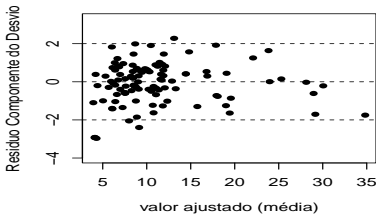
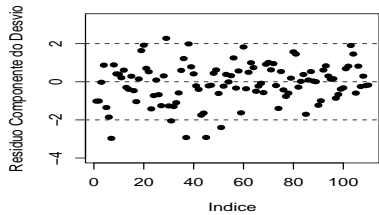
$$\bar{x}_j = \frac{1}{110} \sum_{i=1}^{110} x_{ji}, \text{ e } s_j = \frac{\sum_{i=1}^n (x_{ji} - \bar{x}_j)^2}{109} \quad j = 1, 2, \dots, 5.$$

- $e^{\beta_0}$  : número esperado de clientes para domicílios localizados em áreas com valor médio para cada uma das covariáveis.

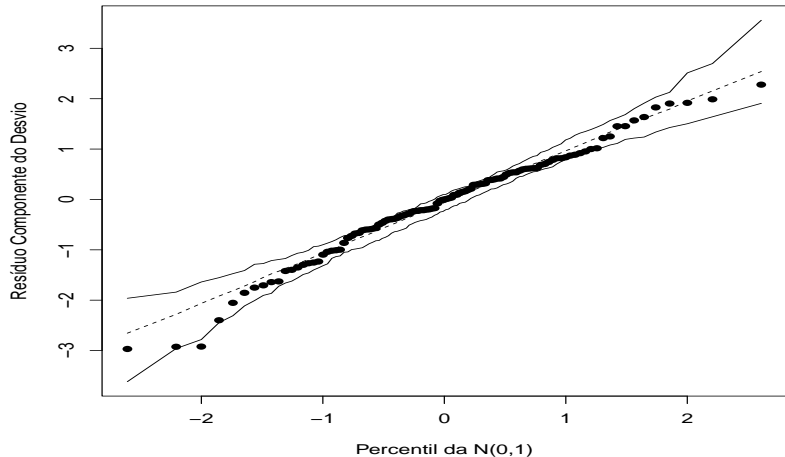
# Modelo (completo)

- $e^{\beta_j/s_j}$  : incremento (positivo ou negativo) no valor esperado do número de clientes, para o aumento em uma unidade no valor da covariável  $j$ , mantendo-se todas as outras fixas.
- Uma vez que cada uma das covariáveis está sendo introduzida no modelo com iguais média e variância (e de forma adimensional), as magnitudes dos respectivos coeficientes podem ser diretamente comparadas.

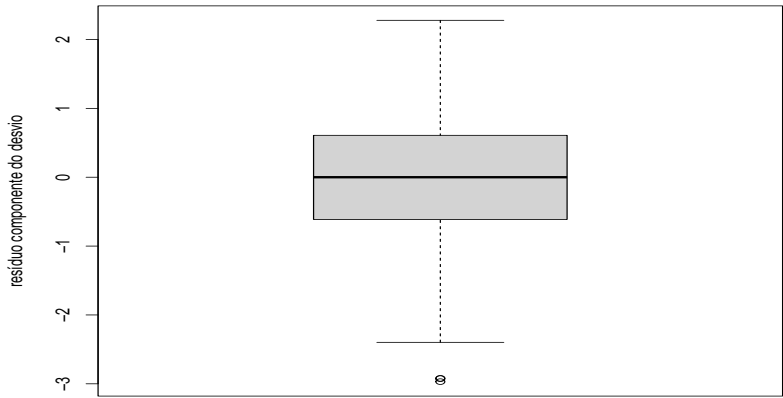
# Gráficos de diagnóstico: Modelo completo



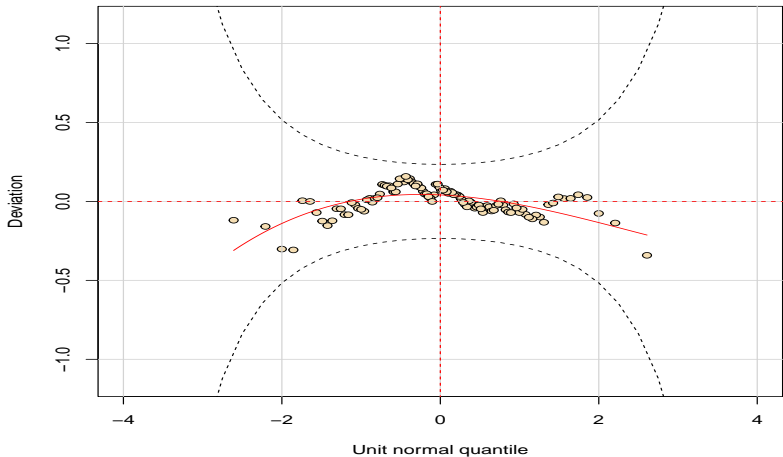
## Envelope para os resíduos: Modelo completo



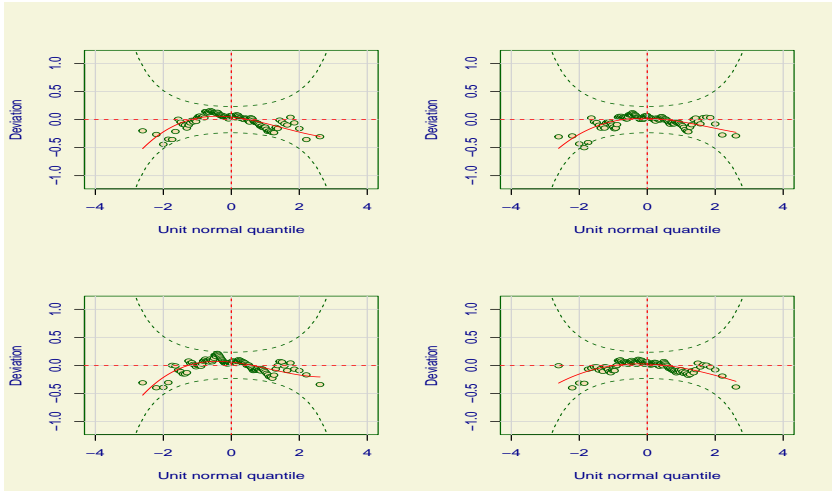
## Box plot para os resíduos: Modelo completo



# Worm plot para os resíduos: Modelo completo



# Worm plots para os resíduos: Modelo completo



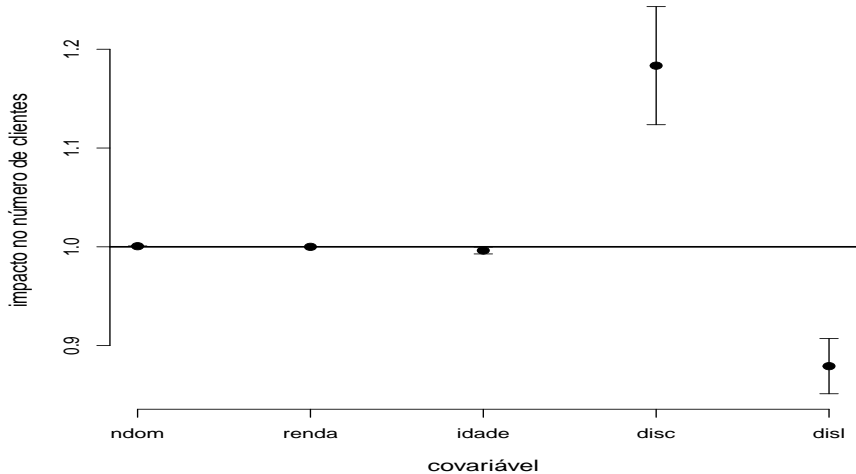
# Estimativas dos parâmetros

- A análise residual indica um bom ajuste, apesar de leve assimetria negativa dos RCD.
- $D(\mathbf{y}, \tilde{\boldsymbol{\mu}}) = 114,95$  ( $p = 0,2170$ ) (considerando a aproximação pela distribuição  $\chi^2_{(104)}$  adequada), o que indica que o modelo se adequou bem aos dados.
- Isso sugere que o ajuste do modelo pode ser melhorado contudo, este é aceitável.

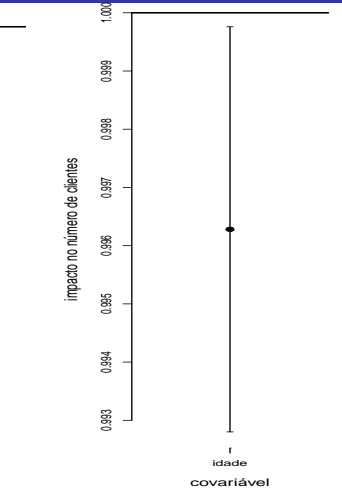
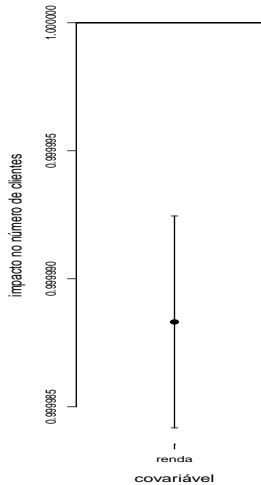
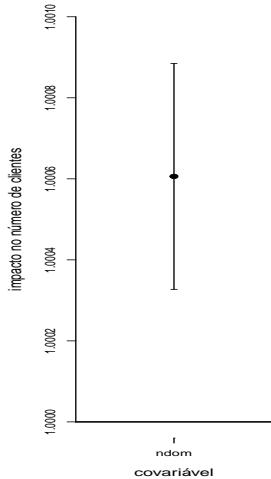
## Estimativas dos parâmetros

Parâmetro	Estimativa	EP	IC(95%)	Estat. t	p-valor
$\beta_0$	2,30	0,03	[2,24 ; 2,36]	72,92	< 0,0001
$\beta_1$	0,16	0,04	[0,09 ; 0,23]	4,26	< 0,0001
$\beta_2$	-0,22	0,04	[-0,29 ; -0,14]	-5,53	< 0,0001
$\beta_3$	-0,062	0,030	[-0,120 ; -0,003]	-2,091	0,0365
$\beta_4$	0,25	0,04	[0,18 ; 0,33]	6,53	< 0,0001
$\beta_5$	-0,30	0,04	[-0,37 ; -0,22]	-7,95	< 0,0001

## Estimativa do impacto que cada covariável ( $e^{\beta_j/s_j}$ )



# Estimativa do impacto das 3 primeiras covariáveis ( $e^{\beta_j/s_j}$ )

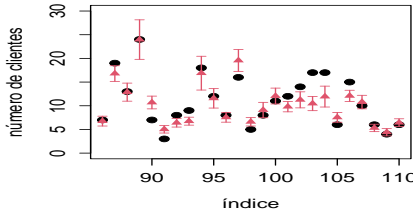
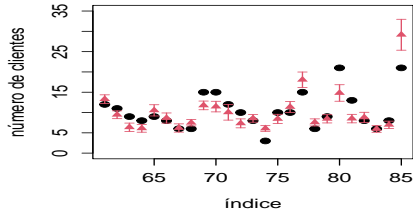
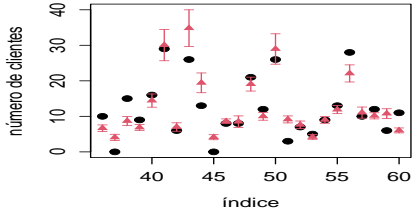
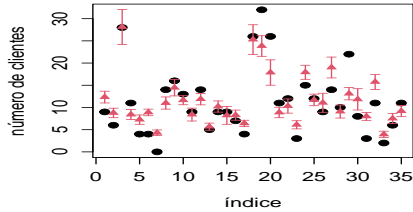


## Mais sobre a escolha do modelo

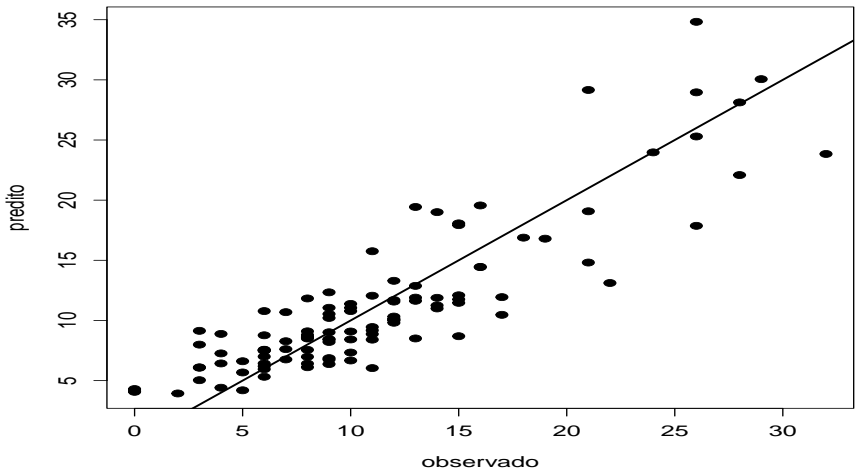
- A aplicação da metodologia stepwise, começando com o modelo só com o intercepto ou começando com o modelo completo, indicou, em ambos os casos, que todas as variáveis são significativas.
- A utilização do modelo com todas as covariáveis é preferível àquele sem a covariável idade.
- Critérios de Informação ( $MAR = \frac{1}{n} \sum_{i=1}^n |y_i - \tilde{y}_i|$ )

Modelo	AIC	BIC	AICc	SABIC	HQCIC	CAIC	MAR
Inicial	571,02	587,23	571,84	568,27	577,60	593,23	2,48
-Idade	573,40	586,91	573,98	571,11	578,88	591,91	2,52

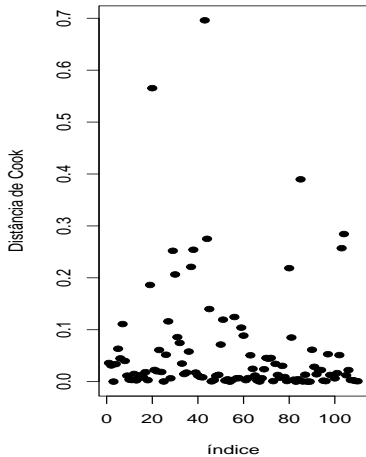
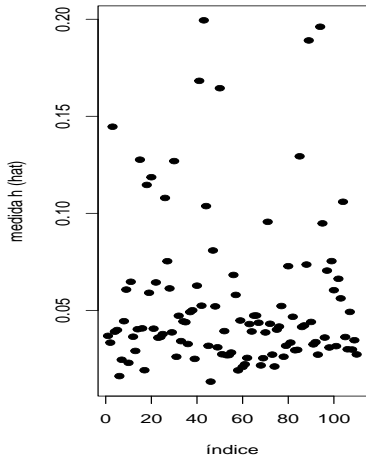
# Valores preditos x observados



## Valores preditos x observados



# Pontos alavanca e Distância de Cook



# Análise de sensibilidade

parâmetro ( $\beta_0$ )

Observações	Est.	EP	IC(95%)	Estat. $Z_t$	p-valor
todas	2,30	0,03	[2,24;2,36]	72,92	< 0,0001
-# 20	2,29	0,03	[2,23;2,36]	72,21	< 0,0001
-# 40	2,30	0,03	[2,24;2,36]	72,56	< 0,0001
-# 20,40	2,29	0,03	[2,23;2,35]	71,86	< 0,0001

# Análise de sensibilidade

parâmetro ( $\beta_1$ )

Observações	Est.	EP	IC(95%)	Estat. $Z_t$	p-valor
todas	0,16	0,04	[0,09;0,23]	4,26	< 0,0001
-# 20	0,16	0,04	[0,09;0,24]	4,36	< 0,0001
-# 40	0,16	0,04	[0,09;0,24]	4,27	< 0,0001
-# 20,40	0,17	0,04	[0,09;0,24]	4,36	< 0,0001

# Análise de sensibilidade

parâmetro ( $\beta_2$ )

Observações	Est.	EP	IC(95%)	Estat. $Z_t$	p-valor
todas	-0,22	0,04	[-0,29;-0,14]	-5,53	< 0,0001
-# 20	-0,23	0,04	[-0,31;-0,15]	-5,78	< 0,0001
-# 40	-0,22	0,04	[-0,29;-0,14]	-5,52	< 0,0001
-# 20,40	-0,23	0,04	[-0,31;-0,15]	-5,76	< 0,0001

# Análise de sensibilidade

parâmetro ( $\beta_3$ )

Observações	Est.	EP	IC(95%)	Estat.	$Z_t$	p-valor
todas	-0,06	0,03	[-0,12;-0,00]	-2,09		0,0365
-# 20	-0,08	0,03	[-0,14;-0,02]	-2,47		0,0136
-# 40	-0,06	0,03	[-0,12;-0,00]	-2,09		0,0362
-# 20,40	-0,08	0,03	[-0,14;-0,02]	-2,47		0,0135

# Análise de sensibilidade

parâmetro ( $\beta_4$ )

Observações	Est.	EP	IC(95%)	Estat. $Z_t$	p-valor
todas	0,25	0,04	[0,18;0,33]	6,53	< 0,0001
-# 20	0,26	0,04	[0,18;0,34]	6,67	< 0,0001
-# 40	0,25	0,04	[0,18;0,33]	6,53	< 0,0001
-# 20,40	0,26	0,04	[0,18;0,34]	6,66	< 0,0001

# Análise de sensibilidade

parâmetro ( $\beta_5$ )

Observações	Est.	EP	IC(95%)	Estat. $Z_t$	p-valor
todas	-0,30	0,04	[-0,37;-0,22]	-7,95	< 0,0001
-# 20	-0,29	0,04	[-0,36;-0,22]	-7,77	< 0,0001
-# 40	-0,29	0,04	[-0,37;-0,22]	-7,87	< 0,0001
-# 20,40	-0,29	0,04	[-0,36;-0,21]	-7,68	< 0,0001